

東京工業大学 学生 深澤良信
東京大学工学部 正員 西野文雄
東京大学工学部 正員 三木千尋

1. まえがき 本報告は、岩熊、西野が先に報告した手法¹⁾を一軸曲げ棒部材の有限変位解析に対して適用を試みた結果を示すものである。ここでは節点位置成分と節点変位成分をかから基本未知量として選ぶ。全体外力と全体節点位置を結びつける支配方程式を、逐次近似法により解くのに有利な形に定式化した。微小変位問題では初期形状が大きな意味を持つが、有限変位問題では荷重状態によって形状の変化して構造物を解析対象とするより、初期形状そのものは大きな意味を持たない。逆に初期形状からの変化分である節点変位成分よりか節点位置成分を基本未知量としてつかうか、有限変位解析としてより一般性があると考えられる。

2. 刚性方程式 はりの変形はベルヌーイ・オイラーの仮定に従うものとし、変形に伴って生じるひずみは微小であると仮定する。Fig.1に示すように、変形が生じてへなへな断面直線棒の図心線上に沿って直角に直交してり軸ととり、物質点を(ち, り)座標を表す。ひずみと応力を表現するベクトル E_{ss} , D_{ss} を、

$$E_{ss} = \left| \frac{\partial \mathbf{r}}{\partial \xi} \right| - 1 = (g_F - \eta K) - 1, \quad D = D_{ss} \cdot \dot{U}_s \quad (1), (2)$$

と定義する。ここで \mathbf{r} は変形後の(ち, り)点の位置ベクトル、 D は変形前の単位面積あたりに働く力ベクトル、 \dot{U}_s は変形後ち方向の単位ベクトルである。また

$$g_F = 3g_x^2 + g_y^2, \quad K = \frac{-g_x \dot{U}_x + g_y \dot{U}_y}{g_x^2} \quad (3), (4)$$

である。 g_x と g_y は、変形後の図心線上の点の位置ベクトルのち成分とり成分で、タイムはちにつれての微分を示す。構成方程式は $\int_0^l EA (g_F - 1) \delta g_x d\xi + \int_0^l EI K \delta K d\xi = \text{外力項}$ と定義する。ここで A および I はそれぞれ変形前のはりの長さ、断面積および断面二次モーメントである。いま、はりが充分に短かい場合には、はりの全長にわたりて

$$\dot{U}_x \cdot \dot{U}_y \approx 1, \quad \dot{U}_y \cdot \dot{U}_x \approx 0 \quad (7), (8)$$

となるようなら $-y$ 座標系を選ぶことができる、さらにこのとき

$$g_F - 1 \approx 3g_x^2, \quad \delta g_x \approx \delta 3g_x^2 + \frac{g_y^2}{3g_x^2} \delta g_y \quad (9), (10)$$

$$K \approx \frac{g_y}{3g_x}, \quad \delta K \approx \frac{\dot{U}_y}{3g_x} \quad (11), (12)$$

となることが可能である。ただし ここで \dot{U}_y はり方向の単位ベクトル、 \dot{U}_x および \dot{U}_y は正規直交直線座標系のりの基底ベクトルである。形状関数をちに対して 1 次関数、りに対して 3 次関数として、それらを(4)～(12)式および(5)式に代入すると、はりの剛性方程式が次のように求まる。

$$f = (k_E + k_{g_F}) x - f_0. \quad (13)$$

ここで f ははりの両端にかかる一般化力、 x は一般化節点位置ベクトル、 f_0 は等価節点力である。また k_E , k_{g_F} は剛性マトリクスで特に k_{g_F} は幾何剛性マトリクスである。

3. 逐次近似計算 (13)式を全要素にわたりて合成すると、次式が得られる。

$$F = \{k_E(x) + k_{g_F}(x)\} x - F_0(x) \quad (14)$$

ここで F は外力ベクトル、 k_E , k_{g_F} , x , F_0 の意味は(13)式の場合と同様である。この式を解くために

$$x^{n+1} = [k_E(x^n) + k_{g_F}(x^n)]^{-1} \cdot \{F + F_0(x^n)\} \quad (15)$$

として反復計算を行い、収束値まで解としている。

4. 数値実験例 一端固定、一端ヒンジの深い円弧アーチの頂点に集中荷重 P が作用する場合の、載荷点 K に

ける荷重 P と垂直変位 V の関係を計算し、その結果を Fig. 2 に示した。解析にあたって、円弧アーチをその弧 κ に沿って 10 等分割し、それを直線棒 K に書きかえた。図中には Schmidt の解析解²⁾及び増田・吉田らの結果³⁾を本報告の結果と合わせて示している。数値解析によりこのアーチ K に対しては A, B 2 本の $P-V$ 曲線が得られる。曲線 A は Schmidt の解析解²⁾及び増田・吉田³⁾の解の前半とそれそれ求めた範囲で、良く一致している。Fig. 3 には Fig. 2 中の a_1 点より b_2 点に対応するつり合い形状を示してある。これらの形状を比較すれば、曲線 A と曲線 B とか見かけ上交差している位置でも両者の示す解は明らかに異なっていることがわかる。

これらの数値解析から本解析法によれば従来求めることのが困難であったと思われる領域までのつり合い経路を容易に求められることが明らかとなつた。

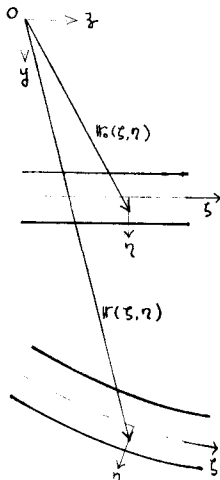


FIG. 1

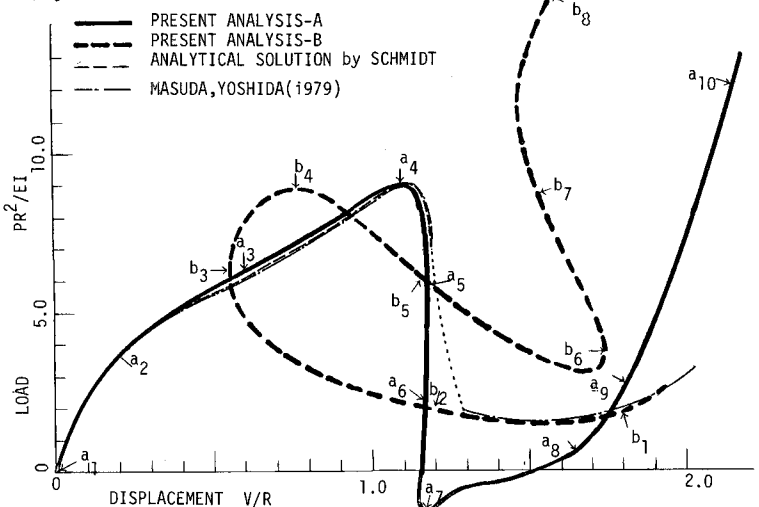
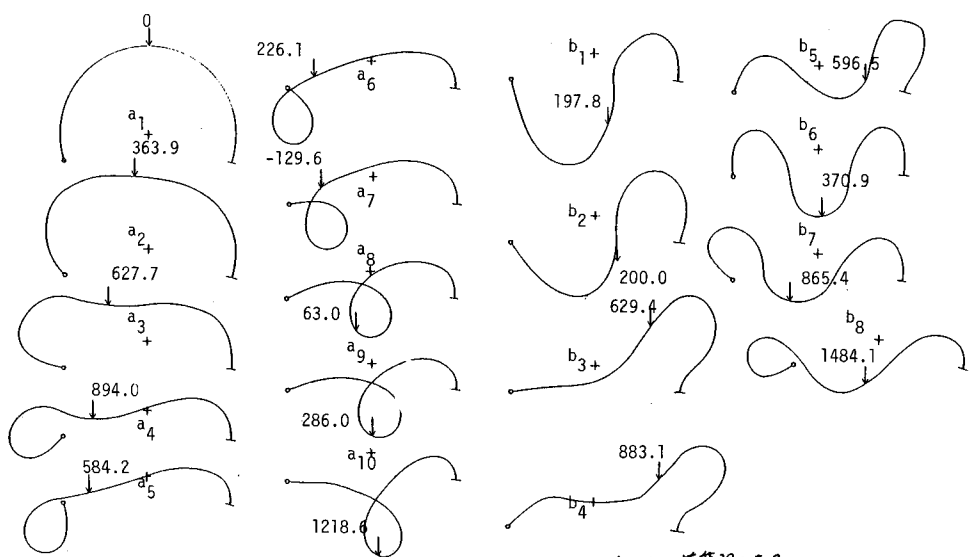


FIG. 2 LOAD_DISPLACEMENT CURVES(VERTICAL COMPONENT) OF DEEP-ARCH



* 図中の数値は荷重 P である。

FIG. 3 つり合い形状

参考文献 岩熊・西野：有限変位問題の数値解析に関する考察、第33回工学会全国大会講演概要集 I-29, pp.55-56, 1978-9.
増田・吉田・森本：骨組構造の幾何学的非線形問題の定式化とその解法、I-35, pp.69-70, 1979-10.